

О НИЖНЕЙ ГРАНИЦЕ ВЕЛИЧИНЫ ТОКА  
ЭГД ЭМИТТЕРА

В.П. К о в а л е н к о, А.Л. Ш а б а л и н

Общепризнанная теория стационарного режима электрогидродинамических (ЭГД) эмиттеров ионов [1] основана на представлениях о динамическом равновесии эмиттирующей поверхности [2], разделяющей потоки вещества с одной стороны в жидкой фазе, а с другой - в виде ионного пучка, образующегося посредством полевого испарения. Однако использованное в этой модели предположение о пороговой зависимости скорости полевого испарения от величины электрического поля не позволяет проследить некоторые, принципиальные на наш взгляд, эффекты, характерные для этого типа эмиттеров, в частности существование минимального возможного тока эмиссии [3, 4]. Мы хотим показать, что минимальный ток естественным образом возникает при более последовательном учете теории полевого испарения.

В стационарном режиме ЭГД эмиттера в каждой точке эмиссионной зоны должно выполняться условие

$$j = n \nu e \cos \alpha, \quad (1)$$

где  $j$  - плотность эмиссионного тока,  $n$  - плотность атомов в подтекающей жидкости,  $\nu$  - ее скорость,  $\alpha$  - угол между вектором скорости и нормалью к поверхности в данной точке. Предполагаем, что эмиттируются только однозарядные ионы.

Величина  $n \nu e$  так же, как в [1], рассчитывается из уравнения Бернули

$$n \nu e = \frac{e}{m} \sqrt{\rho \left( \frac{E^2}{4\pi} - \frac{4r}{r} \right)}, \quad (2)$$

где  $m$  - масса атома,  $\rho$  - плотность жидкости,  $E$  - напряженность электрического поля у поверхности,  $r$  - коэффициент поверхностного натяжения,  $r$  - радиус кривизны поверхности.

Плотность тока при полевом испарении выражается равенством

$$j(E) = e \sigma \nu \exp \left( - \frac{H_0 + I - e\varphi - (e^3 E)^{1/2}}{T} \right), \quad (3)$$

где  $\sigma$  - поверхностная плотность атомов,  $\nu$  - характерная частота их колебаний,  $T$  - температура в единицах энергии,  $H_0$  - энергия сублимации атома,  $I$  - энергия ионизации,  $e\varphi$  - работа выхода [5].

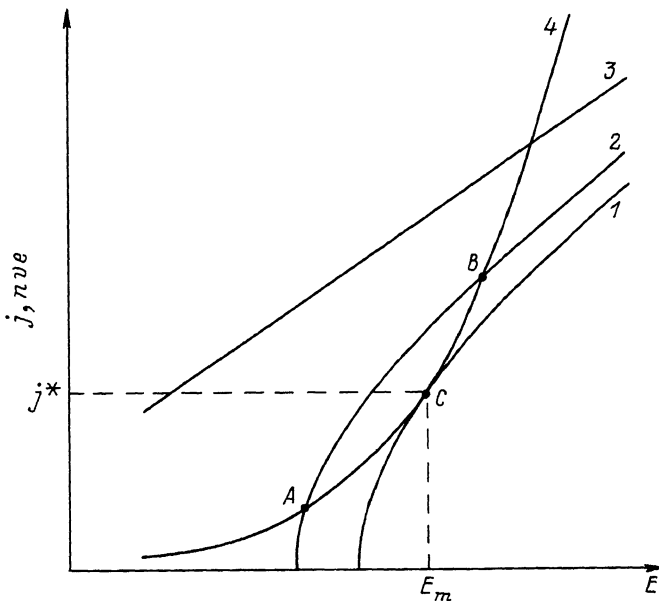


Рис. 1.

Будем решать уравнение (1) графически для частного случая, когда  $\alpha = 0$ , т.е. жидкость подтекает нормально к эмиссионной поверхности. На рис. 1 зависимость  $j(E)$  представлена кривой 4. Кривые 1, 2, 3 – соответствуют равенству (2) с разными радиусами кривизны эмиссионной зоны  $r_1 < r_2 < r_3 = \infty$ . Из рисунка видно, что уравнение (1) при  $r = r_2$  может иметь два решения (точки А и В), из которых устойчиво только второе. И в самом деле, если режим соответствует точке А, то при случайному увеличении поля поток жидкости возрастает сильнее, чем эмиссионная плотность тока. В результате на поверхности эмиттера начнет расти бугорок, и электрическое поле еще больше увеличится. В конце концов процесс завершится переходом эмиттера в точку В<sup>1</sup>. Из рис. 1 видно также, что существует минимальная плотность тока  $j^*$  и минимальный радиус эмиссионной зоны  $r_m$ , при которых еще возможен стационарный устойчивый режим эмиттера. Значение  $j^*$  найдем из условия равенства между собой как самих выражений (2), (3), так и их производных по Е. Имеем

<sup>1</sup> В принципе точку А можно стабилизировать принудительно, устанавливая большое сопротивление в цепь иглы, либо задавая режим с большим сопротивлением течению жидкости. Последний случай, по-видимому, реализуется в [6] и здесь не рассматривается.

Элемент	Температура	$E_0$ , В А	$r_m$ , Å	$j^*$ , $\frac{A}{cm^2}$	$J_{min}$ , мкА (расчет)	$J_{min}$ , мкА (эксперимент)
Al	800 °C	1.9	13	$1.96 \cdot 10^8$	1.5	1.4*
Ga	30 °C	1.5	12.5	$6.59 \cdot 10^7$	0.47	0.26 [4]; 0.28*
Ga	800 °C	1.5	13.2	$1.26 \cdot 10^8$	1.0	0.7*
In	330 °C	1.3	15	$4.27 \cdot 10^7$	0.44	0.5 [7]
Cs	30 °C	0.5	17	$5.86 \cdot 10^6$	0.078	0.1 [8]

$$j^* = \sqrt{\frac{\rho e^{1/2} E_m^{3/2} T}{2\pi m^2}}. \quad (4)$$

Если жидкость подтекает не по нормали, а под углом  $\alpha$  к поверхности эмиссии, то аналогично получим

$$j_{min} = j^* \cos \alpha. \quad (5)$$

Строго говоря, значение  $j^*$  в (5) немного отличается от  $j^*$  в (4) из-за другого значения величины поля  $E_m$ . Но, поскольку зависимость  $j(E)$  довольно резкая, этим отличием можно пренебречь и считать, что в интересующем нас диапазоне электрическое поле примерно постоянно и равно  $E_0$  – характерному испаряющемуся полю для данного материала.

Чтобы сделать следующий шаг и рассчитать минимальный полный ток эмиссии, необходимо выбрать модель, аппроксимирующую форму эмиттера и линии тока жидкости. Поскольку рассматриваются режимы малых токов, можно предположить, что форма поверхности почти не отличается от формы, соответствующей статическому равновесию. Выберем эмиттер в виде сферической поверхности, которая ограничивает конус Тейлора [2] и имеет радиус  $r_m$ , определяемый из уравнения (2), причем будем считать, что линии тока – прямые, выходящие из геометрического центра конуса. Полный ток эмиссии вычисляется интегрированием  $j_{min}$  по всей площади эмиссии. Величины минимальных токов эмиссии  $J_{min}$  для различных рабочих веществ приведены в таблице.

Отмеченные звездочкой цифры в последней колонке – результаты наших измерений. Для измерения минимального тока напряжение на ЭГД эмиттере плавно понижалось, ионный ток изменился цилиндром Фарадея и регистрировался на экране запоминающего осциллографа. Типичная осциллограмма приведена на рис. 2. Можно видеть, что результаты вычислений удовлетворительно согласуются с экспериментальными данными как по абсолютной величине, так и по характеру температурной зависимости. Расхождение между расчетом и экспериментом совершенно естественно, если учесть, что точная форма

эмиттера неизвестна. Если, например, считать угол при вершине конуса равным не  $100^\circ$ , как по Тейлору, а  $110^\circ$  (именно такой угол измерен в экспериментах [9]), то вычисления полного тока дают цифры, значительно лучше совпадающие с экспериментом.

Существование минимальной устойчивой плотности тока может, в частности, объяснить наблюдаемое насыщение энергоразброса при уменьшении тока эмиссии, поскольку последний возникает из-за взаимодействия ионов в плотном пучке вблизи поверхности эмиттера.

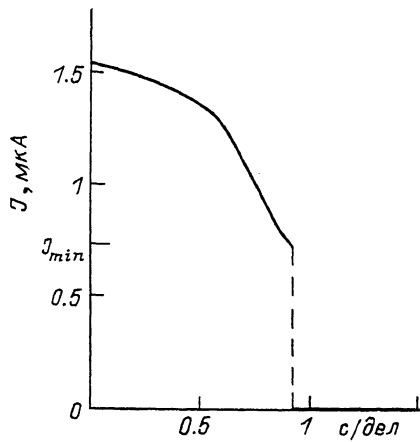


Рис. 2.

#### Список литературы

- [1] K i n g h a m D.R., S w a n s o n L.W. // Appl. Phys. A. 1984. V. 34. N 2. P. 123-132.
- [2] T a y l o r G.I. // Proc. Roy. Soc. 1964. V. 280A. N 1382. P. 383-396.
- [3] W a g n e r A., H a l l T.M. // J. Vac. Sci. Techn. 1979. V. 16. N 6. P. 1871-1874.
- [4] M a r r i o t t P. // J. Phys. D: Appl. Phys. 1986. V. 19. N 6. P. L115-119.
- [5] М ю л л е р Э., Ц о н ь Т. Автоионная микроскопия, М.: Металлургия, 1972. С. 72.
- [6] B e l l A.E., R a o K., S c h w i n d G.A., S w a n s o n L.W. // J. Vac. Sci. Technol. 1988. V. B6. N 3. P. 927-930.
- [7] P a p a d o p u l o s S. // J. Phys. D: Appl. Phys. 1987. V. 20. N 4. P. 530-535.
- [8] A i t k e n K.L. // Proc. Field Emission Day. 1976. Noordwijk, 1976. P. 23-39.
- [9] A s s y a y a g B.G., S u d r a u d P., J o b - b r e y B. // Ultramicroscopy. 1985. V. 16. P. 1-8.

Поступило в Редакцию  
10 ноября 1988 г.